

Окончание. Начало в № 12 `2008

Разработка компонентов устройств ЦОС, реализуемых на базе аппаратных модулей DSP48E в ПЛИС FPGA серии Virtex-5, с помощью «мастера» Architecture Wizard САПР серии Xilinx ISE

Валерий ЗОТОВ
walerry@km.ru

В шестой части статьи завершается изучение процесса разработки компонентов высокоскоростных устройств ЦОС, предназначенных для реализации на базе аппаратных секций DSP48E в ПЛИС с архитектурой FPGA [1] семейств Virtex-5 LX, Virtex-5 LXT, Virtex-5 SXT, Virtex-5 FXT и Virtex-5 TXT, осуществляемого с использованием «мастера» Architecture Wizard САПР серии Xilinx ISE [3, 4]. В этой части рассматривается процедура формирования описаний элементов, выполняющих операции умножения с накоплением (вычитанием) с расширенным набором функциональных возможностей. Для каждого варианта структуры указанных элементов, предоставляющего соответствующие дополнительные возможности, приведены примеры сгенерированных описаний, предназначенных для реализации на основе кристаллов серии Virtex-5 [2, 5–7]. Здесь же приведена краткая информация о разработке высокопроизводительных комплексных умножителей-накопителей на основе компонентов, создаваемых с помощью «мастера» Architecture Wizard.

Подготовка описаний элементов, осуществляющих операции умножения с накоплением (вычитанием) с расширенным набором функциональных возможностей, реализуемых на базе аппаратных секций DSP48E в ПЛИС серии Virtex-5, с помощью «мастера» Architecture Wizard САПР серии Xilinx ISE

Процесс формирования описаний элементов, выполняющих операции умножения с накоплением (вычитанием) с расширенным набором функциональных возможностей, для последующей реализации на основе аппаратных секций DSP48E в ПЛИС семейств Virtex-5 LX, Virtex-5 LXT, Virtex-5 SXT, Virtex-5 FXT и Virtex-5 TXT начинается с той же последовательности действий, что и при подготовке описаний аналогичных компонентов с традиционной структурой, содержащей умножитель и обычный аккумулятор. Данная последовательность действий, вклю-

чающая в себя процедуры запуска «мастера» Architecture Wizard, выбора типа генерируемого компонента, определения комбинации входных и выходных информационных шин данных и их разрядности, была подробно рассмотрена в предыдущей части статьи. После выполнения указанных действий следует перейти к диалоговой панели «мастера» настройки параметров с заголовком *Operation Mode Setup – MACC*, которая предназначена для выбора типа выполняемой операции и структуры создаваемого элемента. Первоначальный вид этой диалоговой панели показан на рис. 30 (см. КиТ № 6 `2009, стр. 51).

Тип операции, выполняемой аккумулятором генерируемого элемента, указывается с помощью группы кнопок с зависимой фиксацией *Add/Subtract control*. В аккумуляторах элементов, выполняющих умножение с накоплением (вычитанием), обладающих набором дополнительных функциональных возможностей, могут быть реализованы те же варианты операций, что и в аналогичных компонентах с традиционной структурой.

Если указанные операции в генерируемом элементе должны выполняться с учетом значения внешнего сигнала входного переноса, то нужно установить в состояние «Включено» индикатор *Use a CARRYIN*, находящийся во встроенной панели *Carry option*.

Далее необходимо выбрать один из трех предлагаемых вариантов структуры, предоставляющих возможность реализации дополнительных операций в создаваемом элементе, воспользовавшись для этого группой кнопок с зависимой фиксацией, которые расположены во встроенной панели *OPMODE Control* (рис. 30). Для генерации описания элемента, осуществляющего операции умножения с накоплением (вычитанием) с учетом значений данных, поступающих на входную шину PCIN, предназначенную для каскадного соединения модулей ЦОС, следует нажать кнопку *Use a dedicated cascade result from previous DSP slice in chain (PCIN pin)*. Компоненты с такой конфигурацией часто применяются при проектировании высокоскоростных устройств цифровой обработки сигналов, включающих

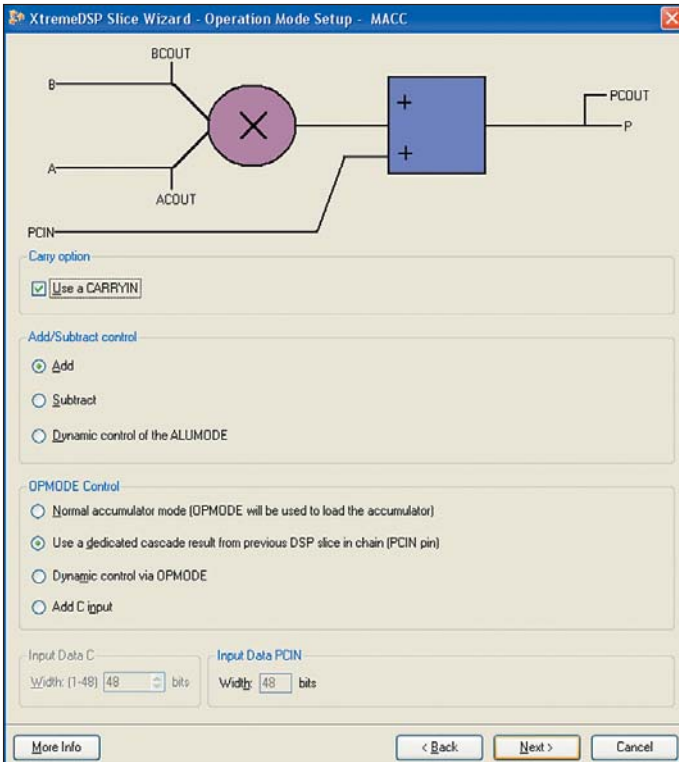


Рис. 34. Вид диалоговой панели Operation Mode Setup – MACC «мастера» настройки параметров элементов с использованием результатов вычислений, осуществляемых предшествующим аппаратным модулем DSP48E ПЛИС серии Virtex-5

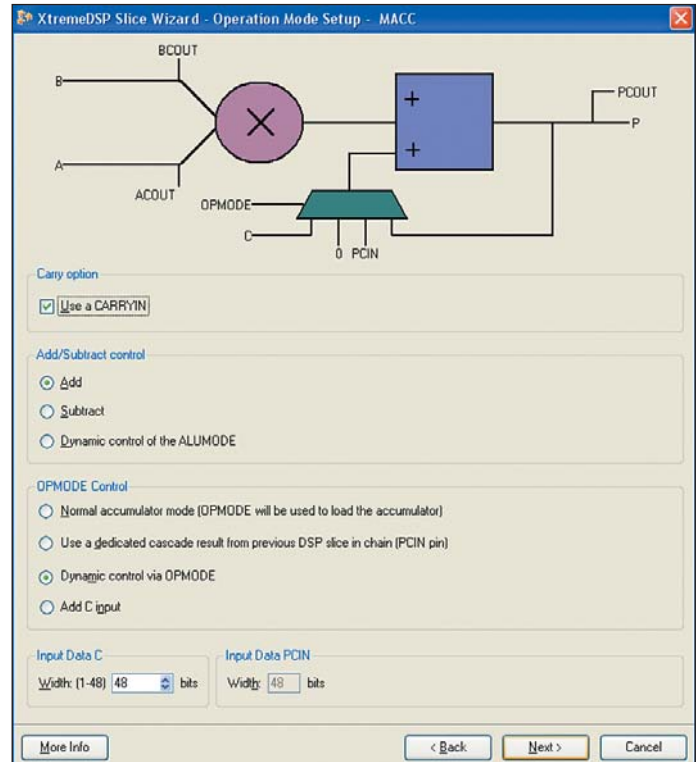


Рис. 35. Вид диалоговой панели Operation Mode Setup – MACC «мастера» настройки параметров элементов при выборе варианта с возможностью динамического изменения конфигурации структуры и источников входных данных

в себя несколько звеньев, каждое из которых реализуется на базе отдельной аппаратной секции DSP48E в ПЛИС серии Virtex-5. В таких устройствах операции умножения с накоплением, выполняемые одним звеном, должны осуществляться с использованием результата вычислений, формируемого аппаратной секцией DSP48E, на базе которой реализовано предыдущее звено. В частности, такие компоненты используются в составе устройств, выполняющих операции умножения с накоплением над комплексными значениями.

При установке кнопки *Use a dedicated cascade result from previous DSP slice in chain (PCIN pin)* в нажатое положение диалоговая панель «мастера» настройки параметров элементов, выполняющих операции умножения с накоплением, с заголовком *Operation Mode Setup – MACC* автоматически преобразуется к виду, представленному на рис. 34.

В верхней части этой диалоговой панели отображается выбранный вариант структуры элементов, выполняющих операции умножения с накоплением с использованием результатов вычислений, осуществляемых предшествующей секцией DSP48E ПЛИС серии Virtex-5 в каскадной цепочке аппаратных модулей ЦОС. Кроме того, в нижней части становится доступной встроенная панель с заголовком *Input Data PCIN*, в которой отображается значение параметра *Width*, информирующего о разрядности дополнительной входной шины данных PCIN. Как и в других элементах, генерируемых с помощью «мас-

тера» *Architecture Wizard* для последующей реализации на основе аппаратных секций DSP48E, эта шина имеет фиксированное значение разрядности, которое составляет 48 бит.

Чтобы сформировать описание компонента, осуществляющего операции умножения с накоплением (вычитанием), который обладает возможностью динамического изменения конфигурации структуры в процессе его функционирования, необходимо нажать кнопку *Dynamic control via OPMODE*. В этом случае в состав интерфейса генерируемого элемента автоматически добавляется входная 7-разрядная шина OPMODE, которая предназначена для управления выбором источников входных данных и выполняемой функции арифметическо-логического блока аппаратной секции DSP48E, используемой для реализации создаваемого компонента. Сформированный элемент с динамической изменяемой конфигурацией структуры позволяет выполнять различные функции, поддерживаемые архитектурой аппаратных секций DSP48E ПЛИС серии Virtex-5 [5–7].

После переключения в нажатое положение кнопки *Dynamic control via OPMODE* диалоговая панель с заголовком *Operation Mode Setup – MACC* приобретает вид, изображенный на рис. 35.

В нижней части представленной диалоговой панели в доступное состояние автоматически переключается не только встроенная панель с заголовком *Input Data PCIN*, но и встроенная панель *Input Data C*. Послед-

няя встроенная панель содержит поле редактирования *Width*, которое предназначено для определения значения разрядности дополнительной входной шины данных C. В отличие от шины PCIN разрядность шины данных C может выбираться в пределах, определяемых архитектурой аппаратных секций DSP48E ПЛИС серии Virtex-5. Требуемое значение разрядности может быть указано с помощью клавиатуры непосредственно в поле редактирования *Width* или установлено с помощью двух кнопок, расположенных в правой части этого поля. Данные кнопки позволяют в пошаговом режиме уменьшить или увеличить значение, представленное в поле редактирования, до требуемого количества разрядов. Допустимый диапазон изменения параметра *Width* для дополнительной входной шины данных C составляет от одного до 48 двоичных разрядов.

Если необходимо подготовить описание элемента, выполняющего операции умножения с накоплением с использованием значений, представленных на дополнительной входной шине данных C арифметическо-логического блока аппаратной секции DSP48E, то во встроенной панели *OPMODE Control* нужно нажать кнопку *Add C input*. При этом диалоговая панель с заголовком *Operation Mode Setup – MACC* принимает вид, показанный на рис. 36. В этой диалоговой панели следует определить разрядность дополнительной входной шины данных C таким же образом, как и в предыдущем варианте.

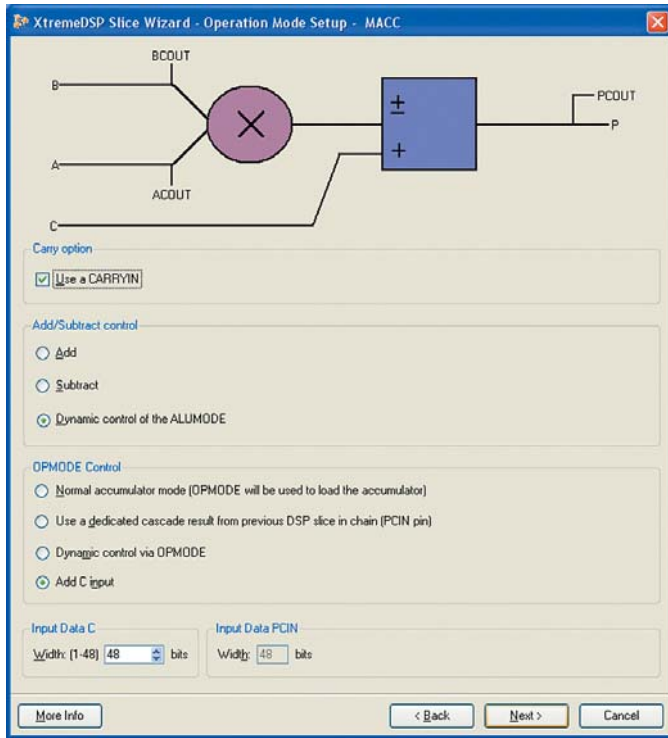


Рис. 36. Вид диалоговой панели Operation Mode Setup – MACC «мастера» настройки параметров элементов при выборе варианта конфигурации с использованием дополнительной входной шины данных C

После выбора требуемого варианта конфигурации элемента, предназначенного для выполнения операций умножения с накоплением, с расширенным набором функциональных возможностей необходимо перейти к третьей диалоговой панели «мастера» настройки, которая имеет заголовок *Pipelining and CE/RST Setup – MACC*. Вид этой диалоговой панели для рассматриваемого типа формируемых компонентов при различных вариантах организации конвейерной обработки входных и выходных данных приведен на рис. 31–33 (см. Кит № 6 `2009, стр. 52, 53). В рассматриваемой диалоговой панели нужно указать количество конвейерных регистров, устанавливаемых на входных информационных шинах данных, определить необходимость использования буферных регистров на шинах управления и в цепи внешнего сигнала входного переноса, а также выбрать входы управления для каждого из этих регистров. Эта процедура выполняется так же, как и при формировании описаний элементов, осуществляющих операции умножения с накоплением, с традиционной структурой. Следует обратить внимание на то, что буферные регистры на входах шины OPMODE, используемой для управления выбором источников входных данных и выполняемой функции арифметическо-логического блока аппаратной секции DSP48E, могут включаться в состав структуры генерируемого компонента только при выборе варианта с динамически изменяемой конфигурацией (при нажатой кнопке *Dynamic control via OPMODE*).

Для проверки установленных параметров конфигурации формируемого элемента, выполняющего операции умножения с накоплением (вычитанием) с поддержкой расширенного набора функциональных возможностей, и запуска процесса автоматической генерации его описания следует открыть заключительную информационную панель «мастера» настройки параметров с заголовком *Summary – MACC*. Процесс автоматического формирования файлов описания компонента с выбранным вариантом конфигурации активизируется так же, как и при создании элементов, выполняющих операции умножения с накоплением, с традиционной структурой.

В последующих разделах приводятся примеры описаний элементов, осуществляющих операции умножения с накоплением (вычитанием), для каждого варианта конфигурации, рассмотренного выше.

Пример описания элемента, выполняющего операции умножения с накоплением и вычитанием с учетом результатов вычислений предшествующего модуля ЦОС, сформированного с помощью «мастера» Architecture Wizard для реализации на базе аппаратных модулей DSP48E в ПЛИС серии Virtex-5

В качестве примера описания компонента, выполняющего операции умножения с на-

коплением и вычитанием, который предназначен для использования в составе многозвенных устройств ЦОС, реализуемых на основе аппаратных секций DSP48E в ПЛИС семейств Virtex-5 LX, Virtex-5 LXT, Virtex-5 SXT, Virtex-5 FXT и Virtex-5 TXT, далее приводится VHDL-описание элемента *macc_add_sub_pc_14_12_32*, сгенерированное с помощью «мастера» Architecture Wizard. Этот элемент осуществляет операции перемножения значений, представленных в виде 14- и 12-разрядного двоичного кода на соответствующих информационных входных шинах данных, с последующим вычислением суммы или разности произведения и содержимого аккумулятора с учетом значений результатов выполнения операций в предшествующем модуле ЦОС и внешнего сигнала входного переноса. Итоговый результат вычислений, выполняемых элементом *macc_add_sub_pc_14_12_32*, поступает на выходную шину данных в форме 32-разрядного двоичного кода. В качестве входных портов, определяющих значения сомножителей, в этом элементе используются шины данных A и B аппаратной секции DSP48E. Для выбора типа операции, осуществляемой аккумулятором рассматриваемого элемента, в составе его интерфейса предусмотрена 4-разрядная шина управления ALUMODE_IN.

Сформированный текст описания элемента *macc_add_sub_pc_14_12_32* на языке VHDL имеет следующий вид:

```
--Command: xaw2vhd-st D:\PRJ\macc_add_sub_pc_14_12_32.xaw
D:\PRJ\macc_add_sub_pc_14_12_32
--Design Name: macc_add_sub_pc_14_12_32
--Device: xc5vxx50t-ff1136-3
--
-- Module macc_add_sub_pc_14_12_32
-- Generated by Xilinx Architecture Wizard
-- Written for synthesis tool: XST
--
library ieee;
use ieee.std_logic_1164.ALL;
use ieee.numeric_std.ALL;
library UNISIM;
use UNISIM.Vcomponents.ALL;
--
entity macc_add_sub_pc_14_12_32 is
port (
    ALUMODE_IN      : in std_logic_vector (3 downto 0);
    A_IN            : in std_logic_vector (11 downto 0);
    B_IN            : in std_logic_vector (13 downto 0);
    CARRYIN_IN     : in std_logic;
    CEALUMODE_IN   : in std_logic;
    CEA1_IN        : in std_logic;
    CEA2_IN        : in std_logic;
    CEB1_IN        : in std_logic;
    CEB2_IN        : in std_logic;
    CECARRYIN_IN  : in std_logic;
    CEMULTCARRYIN_IN : in std_logic;
    CEM_IN         : in std_logic;
    CEP_IN         : in std_logic;
    CLK_IN         : in std_logic;
    PCIN_IN        : in std_logic_vector (47 downto 0);
    RSTALLCARRYIN_IN : in std_logic;
    RSTALUMODE_IN : in std_logic;
    RSTA_IN        : in std_logic;
    RSTB_IN        : in std_logic;
    RSTCTRL_IN    : in std_logic;
    RSTM_IN        : in std_logic;
    RSTP_IN        : in std_logic;
    ACOUT_OUT      : out std_logic_vector (29 downto 0);
    BCOUT_OUT      : out std_logic_vector (17 downto 0);
    PCOUT_OUT      : out std_logic_vector (47 downto 0);
    P_OUT          : out std_logic_vector (31 downto 0)
);
end macc_add_sub_pc_14_12_32;
--
architecture BEHAVIORAL of macc_add_sub_pc_14_12_32 is
    signal GND_BUS_3 : std_logic_vector (2 downto 0);
    signal GND_BUS_18 : std_logic_vector (17 downto 0);
```



```

INST_DSP48E_INST_BREG = 2;
INST_DSP48E_INST_B_INPUT = DIRECT;
INST_DSP48E_INST_CARRYINREG = 1;
INST_DSP48E_INST_CARRYINSELREG = 0;
INST_DSP48E_INST_CREG = 0;
INST_DSP48E_INST_MASK = 3FFFFFFF;
INST_DSP48E_INST_MREG = 1;
INST_DSP48E_INST_MULTCARRYINREG = 1;
INST_DSP48E_INST_OPMODEREG = 0;
INST_DSP48E_INST_PATTERN = 000000000000;
INST_DSP48E_INST_PREG = 1;
INST_DSP48E_INST_SEL_MASK = MASK;
INST_DSP48E_INST_SEL_PATTERN = PATTERN;
INST_DSP48E_INST_SEL_ROUNDING_MASK = SEL_MASK;
INST_DSP48E_INST_USE_MULT = MULT_S;
INST_DSP48E_INST_USE_PATTERN_DETECT = NO_PATDET;
INST_DSP48E_INST_USE_SIMD = ONE48;

```

Пример описания многофункционального элемента, осуществляющего операции умножения с накоплением и вычитанием с дополнительными возможностями, сформированного с помощью «мастера» Architecture Wizard для реализации на базе аппаратных модулей DSP48E в ПЛИС серии Virtex-5

Примером многофункционального компонента, включающего в себя аппаратный множитель и аккумулятор с возможностью динамического выбора типа выполняемой операции и источников входных данных, предназначенного для реализации на базе аппаратных модулей DSP48E кристаллов семейств Virtex-5 LX, Virtex-5 LXT, Virtex-5 SXT, Virtex-5 FXT и Virtex-5 TXT, является описание элемента *mac_add_sub_dc_18_20_35*. Этот элемент выполняет функции вычисления произведения 18- и 20-разрядных значений входных данных с последующим вычитанием или суммированием с содержимым аккумулятора, в зависимости от кода выбора типа операции, представленного на соответствующей шине управления. Основными входными информационными портами в элементе *mac_add_sub_dc_18_20_35* являются порты ACIN_IN и BCIN_IN, сопряженные с шинами данных ACIN и BCIN аппаратной секции DSP48E, которая используется для реализации сформированного компонента. Совокупности логических уровней сигналов этих шин определяют значения множителей в рассматриваемом элементе.

Операции суммирования и вычитания в сгенерированном элементе *mac_add_sub_dc_18_20_35* могут осуществляться с учетом значений внешнего сигнала входного переноса и данных, поступающих из дополнительных входных информационных портов. В качестве таких портов в рассматриваемом элементе используются дополнительные 22-разрядная входная шина данных C_IN, подключаемая к соответствующим младшим разрядам шины С арифметическо-логического блока используемой аппаратной секции DSP48E, и 48-разрядная шина PCIN_IN, предназначенная для подключения выходной шины PCOUT предыдущей секции при каскад-

ном наращивании аппаратных модулей ЦОС. Выбор источников дополнительных данных (соответствующих входных шин) производится подачей соответствующего двоичного кода на 7-разрядную шину управления OPMODE_IN.

Управление типом операции, выполняемой в аккумуляторе рассматриваемого элемента, осуществляется с помощью 4-разрядной шины ALUMODE_IN. Значение результата вычисления, производимым элементом *mac_add_sub_dc_18_20_35*, отображается на выходной шине данных в виде 35-разрядного двоичного кода.

Текст VHDL-описания элемента *mac_add_sub_dc_18_20_35*, сгенерированный с помощью «мастера» Architecture Wizard, выглядит следующим образом:

```

--Command: xaw2vhd-st D:\PRJ\mac_add_sub_dc_18_20_35.xaw
D:\PRJ\mac_add_sub_dc_18_20_35
--Design Name: mac_add_sub_dc_18_20_35
--Device: xc5vfx70t-ff1136-3
--
-- Module mac_add_sub_dc_18_20_35
-- Generated by Xilinx Architecture Wizard
-- Written for synthesis tool: XST
--
library ieee;
use ieee.std_logic_1164.ALL;
use ieee.numeric_std.ALL;
library UNISIM;
use UNISIM.vcomponents.ALL;
--
entity mac_add_sub_dc_18_20_35 is
port (
    ACIN_IN          : in std_logic_vector (19 downto 0);
    ALUMODE_IN       : in std_logic_vector (3 downto 0);
    BCIN_IN          : in std_logic_vector (17 downto 0);
    CARRYINSEL_IN   : in std_logic_vector (2 downto 0);
    CARRYIN_IN       : in std_logic;
    CEALUMODE_IN    : in std_logic;
    CEA1_IN          : in std_logic;
    CEA2_IN          : in std_logic;
    CEB1_IN          : in std_logic;
    CEB2_IN          : in std_logic;
    CECARRYIN_IN    : in std_logic;
    CECTRL_IN       : in std_logic;
    CEC_IN           : in std_logic;
    CEMULTCARRYIN_IN : in std_logic;
    CEM_IN           : in std_logic;
    CEP_IN           : in std_logic;
    CLK_IN           : in std_logic;
    C_IN             : in std_logic_vector (21 downto 0);
    OPMODE_IN       : in std_logic_vector (6 downto 0);
    PCIN_IN         : in std_logic_vector (47 downto 0);
    RSTALLCARRYIN_IN : in std_logic;
    RSTALUMODE_IN   : in std_logic;
    RSTA_IN         : in std_logic;
    RSTB_IN         : in std_logic;
    RSTCTRL_IN      : in std_logic;
    RSTC_IN         : in std_logic;
    RSTM_IN         : in std_logic;
    RSTP_IN         : in std_logic;
    ACOUT_OUT       : out std_logic_vector (29 downto 0);
    BCOUT_OUT       : out std_logic_vector (17 downto 0);
    PCOUT_OUT       : out std_logic_vector (47 downto 0);
    P_OUT           : out std_logic_vector (34 downto 0)
);
end mac_add_sub_dc_18_20_35;
--
architecture BEHAVIORAL of mac_add_sub_dc_18_20_35 is
    signal GND_BIT          : std_logic;
    signal GND_BUS_18      : std_logic_vector (17 downto 0);
    signal GND_BUS_30     : std_logic_vector (29 downto 0);
    signal P_float         : std_logic_vector (12 downto 0);
begin
    GND_BIT <= '0';
    GND_BUS_18(17 downto 0) <= «00000000000000000000»;
    GND_BUS_30(29 downto 0) <= «00000000000000000000000000000000»;
    DSP48E_INST : DSP48E
    generic map(
        ACASCREG => 1,
        ALUMODEREG => 1,
        AREG => 2,
        AUTORESET_PATTERN_DETECT => FALSE,
        AUTORESET_PATTERN_DETECT_OPTINV => «MATCH»,
        A_INPUT => «CASCADE»,
        BCASCREG => 1,
        BREG => 2,
        B_INPUT => «CASCADE»,
        CARRYINREG => 1,
        CARRYINSELREG => 0,
        CREG => 1,
        MASK => x«3FFFFFFF»,
        MREG => 1,
        MULTCARRYINREG => 1,
        OPMODEREG => 1,
        PATTERN => x«0000000000000000»,
        PREG => 1,
        SEL_MASK => «MASK»,
        SEL_PATTERN => «PATTERN»,
        SEL_ROUNDING_MASK => «SEL_MASK»,
        USE_MULT => «MULT_S»,
        USE_PATTERN_DETECT => «NO_PATDET»,
        USE_SIMD => «ONE48»
    )
    port map (
        A(29 downto 0) => GND_BUS_30(29 downto 0),
        ACIN(29) => ACIN_IN(19),
        ACIN(28) => ACIN_IN(19),
        ACIN(27) => ACIN_IN(19),
        ACIN(26) => ACIN_IN(19),
        ACIN(25) => ACIN_IN(19),
        ACIN(24) => ACIN_IN(19),
        ACIN(23) => ACIN_IN(19),
        ACIN(22) => ACIN_IN(19),
        ACIN(21) => ACIN_IN(19),
        ACIN(20) => ACIN_IN(19),
        ALUMODE(19 downto 0) => ACIN_IN(19 downto 0),
        ALUMODE(3 downto 0) => ALUMODE_IN(3 downto 0),
        B(17 downto 0) => GND_BUS_18(17 downto 0),
        BCIN(17 downto 0) => BCIN_IN(17 downto 0),
        C(47) => C_IN(21),
        C(46) => C_IN(21),
        C(45) => C_IN(21),
        C(44) => C_IN(21),
        C(43) => C_IN(21),
        C(42) => C_IN(21),
        C(41) => C_IN(21),
        C(40) => C_IN(21),
        C(39) => C_IN(21),
        C(38) => C_IN(21),
        C(37) => C_IN(21),
        C(36) => C_IN(21),
        C(35) => C_IN(21),
        C(34) => C_IN(21),
        C(33) => C_IN(21),
        C(32) => C_IN(21),
        C(31) => C_IN(21),
        C(30) => C_IN(21),
        C(29) => C_IN(21),
        C(28) => C_IN(21),
        C(27) => C_IN(21),
        C(26) => C_IN(21),
        C(25) => C_IN(21),
        C(24) => C_IN(21),
        C(23) => C_IN(21),
        C(22) => C_IN(21),
        C(21 downto 0) => C_IN(21 downto 0),
        CARRYCASCIN => GND_BIT,
        CARRYIN => CARRYIN_IN,
        CARRYINSEL(2 downto 0) => CARRYINSEL_IN(2 downto 0),
        CEALUMODE => CEALUMODE_IN,
        CEA1 => CEA1_IN,
        CEA2 => CEA2_IN,
        CEB1 => CEB1_IN,
        CEB2 => CEB2_IN,
        CEC => CEC_IN,
        CECARRYIN => CECARRYIN_IN,
        CECTRL => CECTRL_IN,
        CEM => CEM_IN,
        CEMULTCARRYIN => CEMULTCARRYIN_IN,
        CEP => CEP_IN,
        CLK => CLK_IN,
        MULTSIGNIN => GND_BIT,
        OPMODE(6 downto 0) => OPMODE_IN(6 downto 0),
        PCIN(47 downto 0) => PCIN_IN(47 downto 0),
        RSTA => RSTA_IN,
        RSTALLCARRYIN => RSTALLCARRYIN_IN,
        RSTALUMODE => RSTALUMODE_IN,
        RSTB => RSTB_IN,
        RSTC => RSTC_IN,
        RSTCTRL => RSTCTRL_IN,
        RSTM => RSTM_IN,
        RSTP => RSTP_IN,
        ACOUT(29 downto 0) => ACOUT_OUT(29 downto 0),
        BCOUT(17 downto 0) => BCOUT_OUT(17 downto 0),
        CARRYCASCOUT => open,
        CARRYOUT => open,
        MULTSIGNOUT => open,
        OVERFLOW => open,
        P(47 downto 35) => P_float(12 downto 0),
        P(34 downto 0) => P_OUT(34 downto 0),
        PATTERNBDetect => open,
        PATTERNDETECT => open,
        PCOUT(47 downto 0) => PCOUT_OUT(47 downto 0),
        UNDERFLOW => open
    );
end BEHAVIORAL;

```



```

A(22)=>GND_A,
A(21)=>GND_A,
A(20)=>GND_A,
A(19)=>GND_A,
A(18)=>GND_A,
A(17)=>GND_A,
A(16)=>GND_A,
A(15)=>GND_A,
A(14)=>GND_A,
A(13)=>GND_A,
A(12)=>GND_A,
A(11)=>GND_A,
A(10)=>GND_A,
A(9)=>GND_A,
A(8)=>GND_A,
A(7)=>GND_A,
A(6)=>GND_A,
A(5)=>GND_A,
A(4)=>VCC_A,
A(3)=>VCC_A,
A(2)=>VCC_A,
A(1)=>GND_A,
A(0)=>GND_A,
ACIN(29 downto 0)=>GND_BUS_30(29 downto 0),
ALUMODE(3)=>GND_ALUMODE,
ALUMODE(2)=>GND_ALUMODE,
ALUMODE(1)=>GND_ALUMODE,
ALUMODE(0)=>GND_ALUMODE,
B(17 downto 0)=>GND_BUS_18(17 downto 0),
BCIN(17 downto 0)=>BCIN_IN(17 downto 0),
C(47)=>C_IN(23),
C(46)=>C_IN(23),
C(45)=>C_IN(23),
C(44)=>C_IN(23),
C(43)=>C_IN(23),
C(42)=>C_IN(23),
C(41)=>C_IN(23),
C(40)=>C_IN(23),
C(39)=>C_IN(23),
C(38)=>C_IN(23),
C(37)=>C_IN(23),
C(36)=>C_IN(23),
C(35)=>C_IN(23),
C(34)=>C_IN(23),
C(33)=>C_IN(23),
C(32)=>C_IN(23),
C(31)=>C_IN(23),
C(30)=>C_IN(23),
C(29)=>C_IN(23),
C(28)=>C_IN(23),
C(27)=>C_IN(23),
C(26)=>C_IN(23),
C(25)=>C_IN(23),
C(24)=>C_IN(23),
C(23 downto 0)=>C_IN(23 downto 0),
CARRYCASCIN=>GND_A,
CARRYIN=>CARRYIN_IN,
CARRYINSEL(2 downto 0)=>GND_BUS_3(2 downto 0),
CEALUMODE=>VCC_OPMODE,
CEA1=>CEA1_IN,
CEA2=>CEA2_IN,
CEB1=>CEB1_IN,
CEB2=>CEB2_IN,
CEC=>CEC_IN,
CECARRYIN=>CECARRYIN_IN,
CECTRL=>VCC_OPMODE,
CEM=>CEM_IN,
CEMULTCARRYIN=>CEMULTCARRYIN_IN,
CEP=>CEP_IN,
CLK=>CLK_IN,
MULTSIGNIN=>GND_A,
OPMODE(6)=>GND_OPMODE,
OPMODE(5)=>VCC_OPMODE,
OPMODE(4)=>VCC_OPMODE,
OPMODE(3)=>GND_OPMODE,
OPMODE(2)=>VCC_OPMODE,
OPMODE(1)=>GND_OPMODE,
OPMODE(0)=>VCC_OPMODE,
PCIN(47 downto 0)=>GND_BUS_48(47 downto 0),
RSTA=>RSTA_IN,
RSTALLCARRYIN=>RSTALLCARRYIN_IN,
RSTALUMODE=>GND_A,
RSTB=>RSTB_IN,
RSTC=>RSTC_IN,
RSTCTRL=>GND_A,
RSTM=>RSTM_IN,
RSTP=>RSTP_IN,
ACOUT(29 downto 0)=>ACOUT_OUT(29 downto 0),
BCOUT(17 downto 0)=>BCOUT_OUT(17 downto 0),
CARRYCASCOUT=>open,
CARRYOUT=>open,
MULTSIGNOUT=>open,
OVERFLOW=>open,
P(47 downto 38)=>P_float(9 downto 0),
P(37 downto 0)=>P_OUT(37 downto 0),
PATTERNBDETECT=>open,
PATTERNDETECT=>open,
PCOUT(47 downto 0)=>PCOUT_OUT(47 downto 0),
UNDERFLOW=>open
);
end BEHAVIORAL;

```

В представленном VHDL-описании элемента *macc_add_const_c_18_14_38* используются те же условные обозначения входных и выходных портов, что и в описании интерфейса компонентов *macc_add_sub_pc_14_12_32* и *macc_add_sub_dc_18_20_35*, которые были рассмотрены в предыдущих разделах. Структура элемента *macc_add_const_c_18_14_38* построена с применением одноступенчатой организации конвейерной обработки данных. Все входные, выходные и буферные регистры, используемые в составе этой структуры, имеют индивидуальные входы сигналов сброса и разрешения синхронизации, которые представлены в виде соответствующих интерфейсных портов в описании сгенерированного элемента. Кроме того, в состав интерфейса элемента *macc_add_const_c_18_14_38* включены дополнительные выходные шины ACOUT, BCOUT и PCOUT, предоставляющие возможность использования этого компонента в составе каскадного соединения аппаратных модулей ЦОС.

Для установки значений всех необходимых атрибутов библиотечного примитива DSP48E, используемого в качестве основного компонента VHDL-описания элемента *macc_add_const_c_18_14_38*, следует поместить в файл временных и топологических ограничений проекта разрабатываемого устройства ЦОС в САПР серии Xilinx ISE следующую совокупность выражений:

```

# Generated by Xilinx Architecture Wizard
# --- UCF Template Only ---
# Cut and paste these attributes into the project's UCF file, if desired
INST DSP48E_INST ACASCREG = 1;
INST DSP48E_INST ALUMODEREG = 0;
INST DSP48E_INST AREG = 1;
INST DSP48E_INST AUTORESET_PATTERN_DETECT = FALSE;
INST DSP48E_INST AUTORESET_PATTERN_DETECT_OPTINV = MATCH;
INST DSP48E_INST A_INPUT = DIRECT;
INST DSP48E_INST BCASCREG = 1;
INST DSP48E_INST BREG = 1;
INST DSP48E_INST B_INPUT = CASCADE;
INST DSP48E_INST CARRYINREG = 1;
INST DSP48E_INST CARRYINSELREG = 0;
INST DSP48E_INST CREG = 1;
INST DSP48E_INST MASK = 3FFFFFFF;
INST DSP48E_INST MREG = 1;
INST DSP48E_INST MULTCARRYINREG = 1;
INST DSP48E_INST OPMODEREG = 0;
INST DSP48E_INST PATTERN = 000000000000;
INST DSP48E_INST PREG = 1;
INST DSP48E_INST SEL_MASK = MASK;
INST DSP48E_INST SEL_PATTERN = PATTERN;
INST DSP48E_INST SEL_ROUNDING_MASK = SEL_MASK;
INST DSP48E_INST USE_MULT = MULT_S;
INST DSP48E_INST USE_PATTERN_DETECT = NO_PATDET;
INST DSP48E_INST USE_SIMD = ONE48;

```

Разработка компонентов, выполняющих операции умножения с накоплением над комплексными значениями и реализуемых на базе аппаратных секций DSP48E в ПЛИС FPGA серии Virtex-5, с использованием элементов, формируемых с помощью «мастера» Architecture Wizard

Кроме компонентов, выполняющих операции умножения с накоплением вещественных значений, в процессе проектирования ус-

ройств цифровой обработки сигналов могут использоваться элементы, осуществляющие аналогичные операции над комплексными значениями. Для реализации таких элементов, предназначенных для применения в составе высокоскоростных устройств ЦОС, выполняемых на базе ПЛИС семейств Virtex-5 LX, Virtex-5 LXT, Virtex-5 SXT, Virtex-5 FXT и Virtex-5 TXT, необходимо использовать аппаратные секции DSP48E.

При разработке умножителей-накопителей комплексных значений в качестве компонентов можно применять описания элементов, сформированных с помощью «мастера» Architecture Wizard САПР серии Xilinx ISE. В общем случае алгоритм функционирования элементов, выполняющих операции умножения с накоплением над комплексными значениями, поясняет выражение:

$$Q = \sum_{n=1}^N (A_n + ja_n) \times (B_n + jb_n), \quad (2)$$

где A_n и a_n — значения вещественной и мнимой части первого сомножителя на n -й итерации цикла накопления; B_n и b_n — значения вещественной и мнимой части второго сомножителя на n -й итерации соответственно.

Путем несложных преобразований выражение (2) можно привести к следующему виду:

$$Q = \sum_{n=1}^N ((A_n B_n - a_n b_n) + j(A_n b_n + B_n a_n)). \quad (3)$$

Таким образом, выражения для вычисления вещественной (ReQ) и мнимой части (ImQ) результата операций умножения с накоплением комплексных значений можно представить в более наглядном виде, отражающем структуру элемента, реализующего эти операции:

$$ReQ = \sum_{n=1}^N A_n B_n - \sum_{n=1}^N a_n b_n, \quad (4)$$

$$ImQ = \sum_{n=1}^N A_n b_n + \sum_{n=1}^N B_n a_n. \quad (5)$$

Как следует из выражений (4) и (5), для реализации элемента, осуществляющего операции накопления произведений двух комплексных значений, достаточно четырех обычных (вещественных) умножителей-накопителей с традиционной структурой, процесс формирования которых был представлен в предыдущей части статьи, а также сумматор и вычитающее устройство. Если в структуре такого элемента использовать вместо умножителей-накопителей с традиционной архитектурой компоненты с возможностью динамического изменения конфигурации источников входных данных и выполняемой операции, рассмотренные в предыдущих разделах, то дополнительный сумматор и вычитающее устройство не потребуются. Выполняемые ими функции могут быть реализованы на базе тех же аппаратных секций DSP48E.

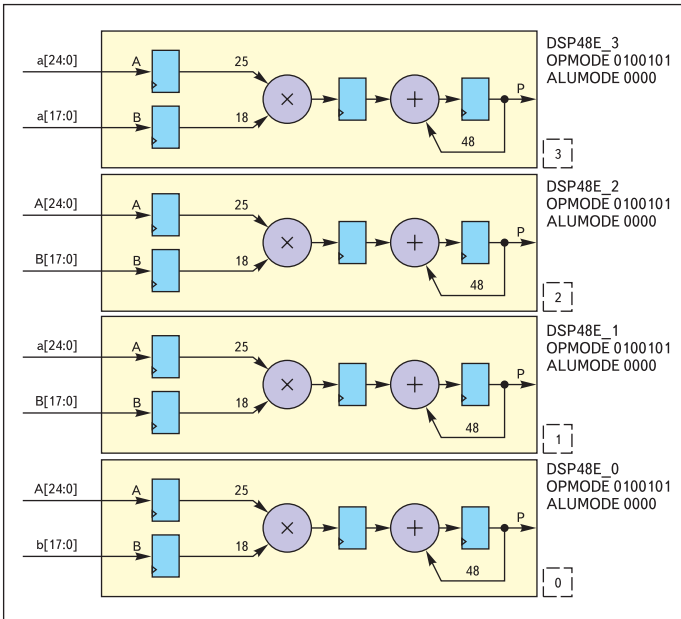


Рис. 37. Структура элемента, выполненная с использованием элементов, формируемых с помощью «мастера» Architecture Wizard для реализации на базе аппаратных секций DSP48E

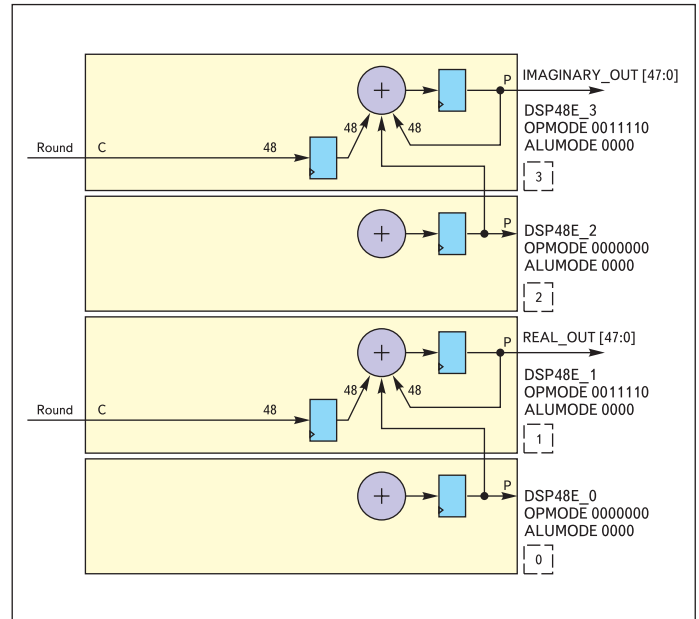


Рис. 38. Вид структуры элемента, выполненной с использованием элементов, формируемых с помощью «мастера» Architecture Wizard для реализации на базе аппаратных секций DSP48E, при вычислении итоговых результатов

На рис. 37 изображена структура элемента, осуществляющего операции умножения с накоплением над комплексными значениями, которая построена на основе компонентов, создаваемых с помощью «мастера» Architecture Wizard для последующей реализации на базе аппаратных секций DSP48E. Данный элемент предназначен для вычисления результата накопления произведений двух комплексных значений, представленных в 25- и 18-разрядном двоичном коде.

При выполнении заключительной итерации цикла накопления произведений на шины управления выбором источников входных данных и выполняемой функции арифметическо-логического блока каждой секции DSP48E, используемой в составе представленной структуры, подаются новые коды, соответствующие требуемым операциям. В результате этого структура элемента, изображенная на рис. 37, преобразуется к виду, показанному на рис. 38.

После вычисления итоговых результатов в соответствии с выражениями (4) и (5) производится восстановление первоначальных кодов на шинах управления выбором источников входных данных и выполняемой функции в используемых секциях DSP48E. При этом структура комплексного умножителя-накопителя вновь приобретает вид, приведенный на рис. 37.

Основным преимуществом представленной структуры элементов, осуществляющих операции умножения с накоплением над комплексными значениями, является минимальное количество аппаратных секций DSP48E, требуемых для ее реализации. Недостаток этой структуры проявляется в необходимости приостановки операций обработки вход-

ных данных для вычисления итоговых значений. Поэтому для применения в устройствах ЦОС с непрерывным процессом обработки

входных данных вместо структуры, изображенной на рис. 37–38, нужно использовать структуру, представленную на рис. 39.

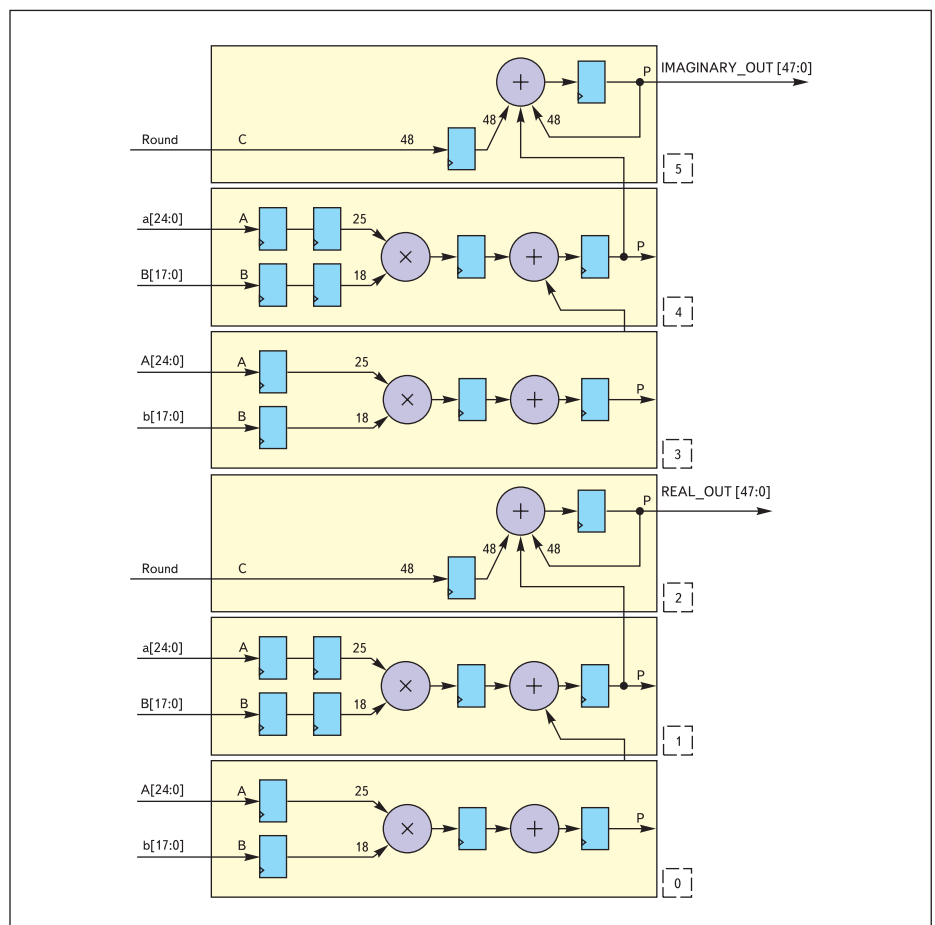


Рис. 39. Структура элемента для реализации на базе аппаратных секций DSP48E в устройствах ЦОС с непрерывным процессом обработки входных данных

Для реализации элементов с этой структурой необходимо шесть секций DSP48E, но при этом достигается непрерывность процесса обработки поступающих данных.

Заключительные замечания

На этом завершается изучение процесса формирования наиболее распространенных компонентов высокопроизводительных устройств ЦОС, реализуемых на основе аппаратных секций DSP48E в кристаллах семейств Virtex-5 LX, Virtex-5 LXT, Virtex-5 SXT, Virtex-5 FXT и Virtex-5 TXT. Представленные примеры VHDL-описаний элементов, подготовленных с помощью «мастера» Architecture Wizard, наглядно демонстрируют возможность оперативного изменения значений параметров этих компонентов в среде встроенного HDL-редактора САПР

серии Xilinx ISE, не прибегая к повторной процедуре их генерации. Особенности разработки более сложных узлов и функциональных блоков устройств цифровой обработки сигналов, выполняемых на базе аппаратных модулей DSP48E в ПЛИС серии Virtex-5, будут рассмотрены в одной из последующих публикаций. ■

Литература

1. Кузелин М. О., Кнышев Д. А., Зотов В. Ю. Современные семейства ПЛИС фирмы Xilinx / Справочное пособие. М.: Горячая линия – Телеком, 2004.
2. Зотов В. Инструментальный модуль компании Avnet для отладки проектов встраиваемых систем, разрабатываемых на базе нового семейства ПЛИС FPGA фирмы Xilinx Virtex-5 FXT // Компоненты и технологии. 2008. № 9.
3. Зотов В. Ю. Проектирование цифровых устройств на основе ПЛИС фирмы Xilinx в САПР WebPack ISE. М.: Горячая линия – Телеком, 2003.
4. Зотов В. Ю. Проектирование встраиваемых микропроцессорных систем на основе ПЛИС фирмы Xilinx. М.: Горячая линия – Телеком, 2006.
5. Virtex-5 FPGA XtremeDSP Design Considerations. User Guide. Xilinx, 2009.
6. Virtex-5 Family Overview. Xilinx, 2009.
7. Virtex-5 FPGA User Guide. Xilinx, 2009.
8. Зотов В. Проектирование цифровых устройств, реализуемых на базе ПЛИС FPGA фирмы Xilinx, с использованием средств CORE Generator // Компоненты и технологии. 2006. № 12. 2007. № 1.
9. Зотов В. Разработка базовых компонентов цифровых устройств, реализуемых на базе ПЛИС FPGA фирмы Xilinx, с помощью генератора параметризованных модулей CORE Generator // Компоненты и технологии. 2007. № 2–12. 2008. № 1–8.